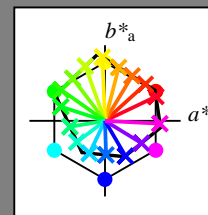


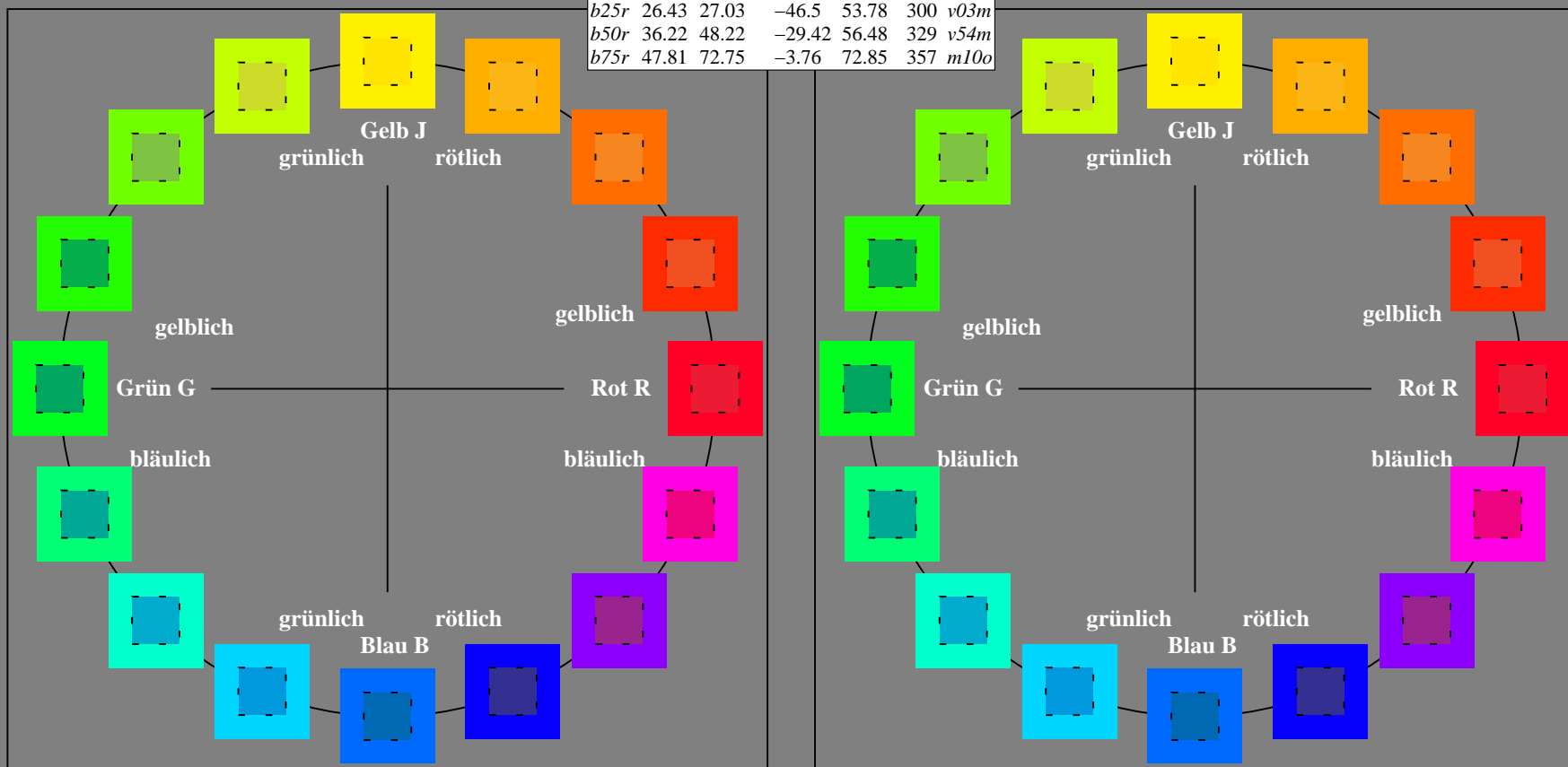
Ein und Ausgabe:  
 Farbmetrisches Drucker-Reflektiv-System ORS20\_95a  
 Daten für jede Farbe:  
 $u^*_e$  und Nummer *Nr.* = 00 .. 15  
 Elementar-Bunttextext:  
 $u^*_e = 16$  Bunttoene *r00j, r25j, ..., b75r*  
 Kontrastreduzierungsfaktor:  
 $c_R = 1.0$

ORS20_95a; adaptierte CIELAB-Daten						
$u^*_e$	$L^*_{*a}$	$a^*_a$	$b^*_a$	$C^*_{ab,a}$	$h^*_{ab,a}$	$u^*_d$
r00j	47.06	67.41	32.12	74.67	25	m84o
r25j	53.95	53.38	48.38	72.04	42	o17y
r50j	63.6	35.87	59.45	69.43	59	o42y
r75j	73.37	18.14	70.66	72.95	76	o68y
j00g	85.24	-3.4	84.28	84.35	92	o93y
j25g	78.53	-25.99	72.23	76.76	110	y24l
j50g	68.25	-42.61	56.0	70.37	127	y55l
j75g	58.73	-57.99	40.99	71.02	145	y85l
g00b	55.66	-58.35	18.71	61.27	162	l12c
g25b	58.18	-46.2	-7.82	46.86	190	l45c
g50b	60.08	-37.02	-27.87	46.34	217	l78c
g75b	55.21	-20.63	-42.98	47.67	244	c16v
b00r	41.38	1.37	-45.05	45.07	272	c58v
b25r	26.43	27.03	-46.5	53.78	300	v03m
b50r	36.22	48.22	-29.42	56.48	329	v54m
b75r	47.81	72.75	-3.76	72.85	357	m10o



%Umfang  
 $u^*_{rel} = 87$   
 %Regularität  
 $g^*_{H,rel} = 67$   
 $g^*_{C,rel} = 59$

ORS20_95a; adaptierte CIELAB-Daten					
Name	$L^*_{*a}$	$a^*_a$	$b^*_a$	$C^*_{ab,a}$	$h^*_{ab,a}$
OMa	46.89	66.19	40.28	77.48	31
YMa	88.66	-9.62	88.21	88.73	96
LMa	54.22	-65.29	33.87	73.56	153
CMa	61.43	-30.53	-42.04	51.96	234
VMa	25.93	25.95	-47.37	54.01	299
MMa	47.92	73.53	-9.02	74.08	353
NMa	20.41	0.0	0.0	0.0	0
WMa	94.64	0.0	0.0	0.0	0
RCIE	39.92	58.74	27.99	65.07	25
JCIE	81.26	-2.89	71.56	71.62	92
GCIE	52.23	-42.42	13.6	44.55	162
BCIE	30.57	1.41	-46.47	46.49	272



Siehe ähnliche Dateien: <http://www.ps.bam.de/Fg50/>; [www.ps.bam.de/Fg50/HTM](http://www.ps.bam.de/Fg50/HTM)  
 Technische Information: <http://www.ps.bam.de> Version 2.1, io=1,1, ColSp=1

BAM-Registrierung: 20081001-Fg50/10L/L50g00NA.TXT/ .PS BAM-Material: Code=rh4ta  
 Anwendung für Beurteilung und Messung von Drucker- oder Monitorsystemen

Ein und Ausgabe:  
 Farbmetrisches Drucker-Reflektiv-System ORS20\_95a

Daten für jede Farbe:

$u^*_e$  und Nummer *Nr.* = 00 .. 15

Elementar-Bunttextext:

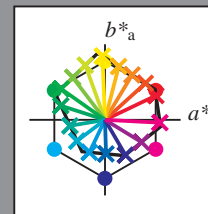
$u^*_e = 16$  Bunttoene *r00j, r25j, ..., b75r*

Kontrastreduzierungsfaktor:

$c_R = 1.0$

ORS20\_95a; adaptierte CIELAB-Daten

$u^*_e$	$L^*=L^*_a$	$a^*_a$	$b^*_a$	$C^*_{ab,a}$	$h^*_{ab,a}$	$u^*_d$
r00j	47.06	67.41	32.12	74.67	25	m84o
r25j	53.95	53.38	48.38	72.04	42	o17y
r50j	63.6	35.87	59.45	69.43	59	o42y
r75j	73.37	18.14	70.66	72.95	76	o68y
j00g	85.24	-3.4	84.28	84.35	92	o93y
j25g	78.53	-25.99	72.23	76.76	110	y24l
j50g	68.25	-42.61	56.0	70.37	127	y55l
j75g	58.73	-57.99	40.99	71.02	145	y85l
g00b	55.66	-58.35	18.71	61.27	162	l12c
g25b	58.18	-46.2	-7.82	46.86	190	l45c
g50b	60.08	-37.02	-27.87	46.34	217	l78c
g75b	55.21	-20.63	-42.98	47.67	244	c16v
b00r	41.38	1.37	-45.05	45.07	272	c58v
b25r	26.43	27.03	-46.5	53.78	300	v03m
b50r	36.22	48.22	-29.42	56.48	329	v54m
b75r	47.81	72.75	-3.76	72.85	357	m10o



%Umfang

$u^*_{rel} = 87$

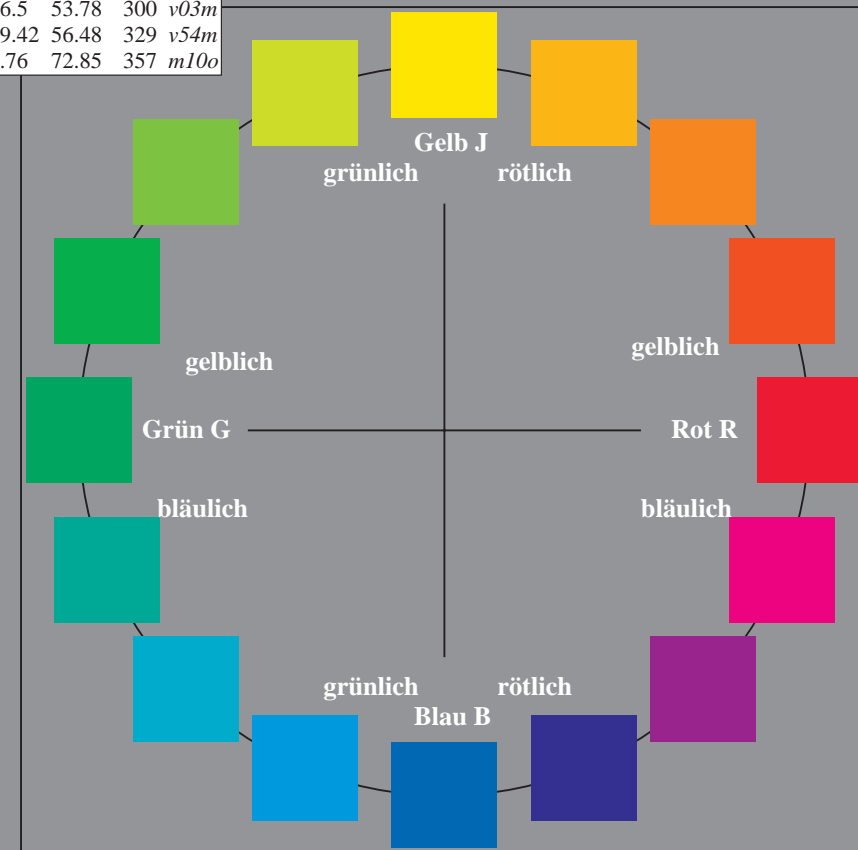
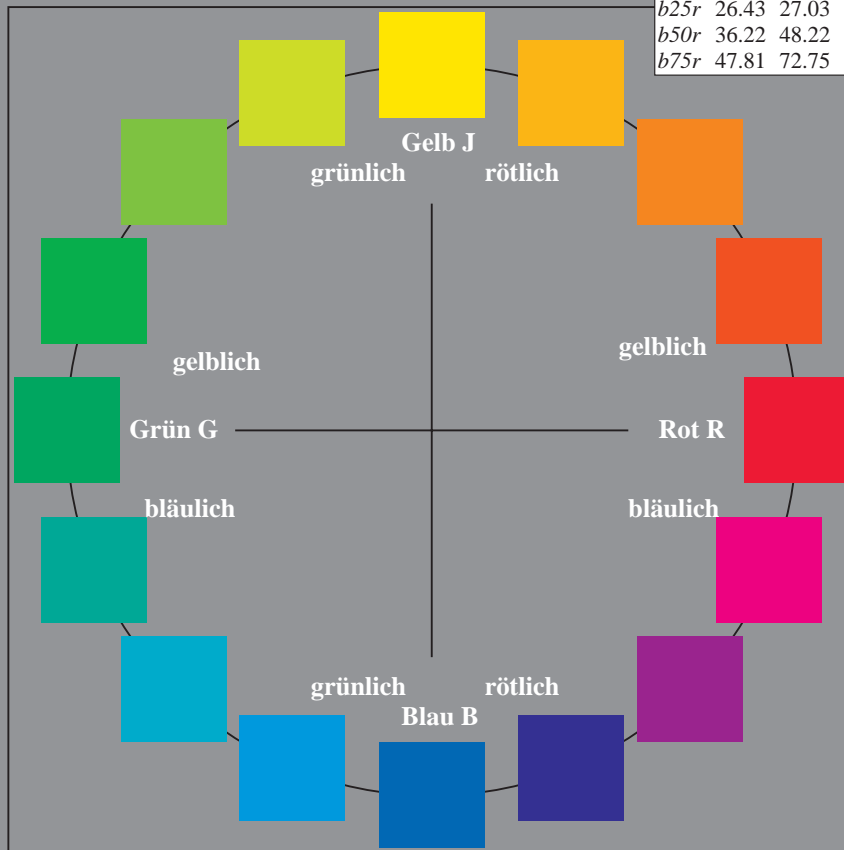
%Regularität

$g^*_{H,rel} = 67$

$g^*_{C,rel} = 59$

ORS20\_95a; adaptierte CIELAB-Daten

Name	$L^*=L^*_a$	$a^*_a$	$b^*_a$	$C^*_{ab,a}$	$h^*_{ab,a}$
OMa	46.89	66.19	40.28	77.48	31
YMa	88.66	-9.62	88.21	88.73	96
LMa	54.22	-65.29	33.87	73.56	153
CMa	61.43	-30.53	-42.04	51.96	234
VMa	25.93	25.95	-47.37	54.01	299
MMa	47.92	73.53	-9.02	74.08	353
NMa	20.41	0.0	0.0	0.0	0
WMa	94.64	0.0	0.0	0.0	0
RCIE	39.92	58.74	27.99	65.07	25
JCIE	81.26	-2.89	71.56	71.62	92
GCIE	52.23	-42.42	13.6	44.55	162
BCIE	30.57	1.41	-46.47	46.49	272

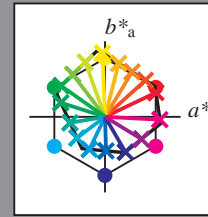


Siehe ähnliche Dateien: <http://www.ps.bam.de/Fg50/>; [www.ps.bam.de/Fg50/Version 2.1, io=1,1, ColSp=1](http://www.ps.bam.de/Fg50/Version2.1.html)  
 Technische Information: <http://www.ps.bam.de>

BAM-Registrierung: 20081001-Fg50/10L/L50g00NA.TXT/ .PS BAM-Material: Code=rh4ta  
 Anwendung für Beurteilung und Messung von Drucker- oder Monitorssystemen

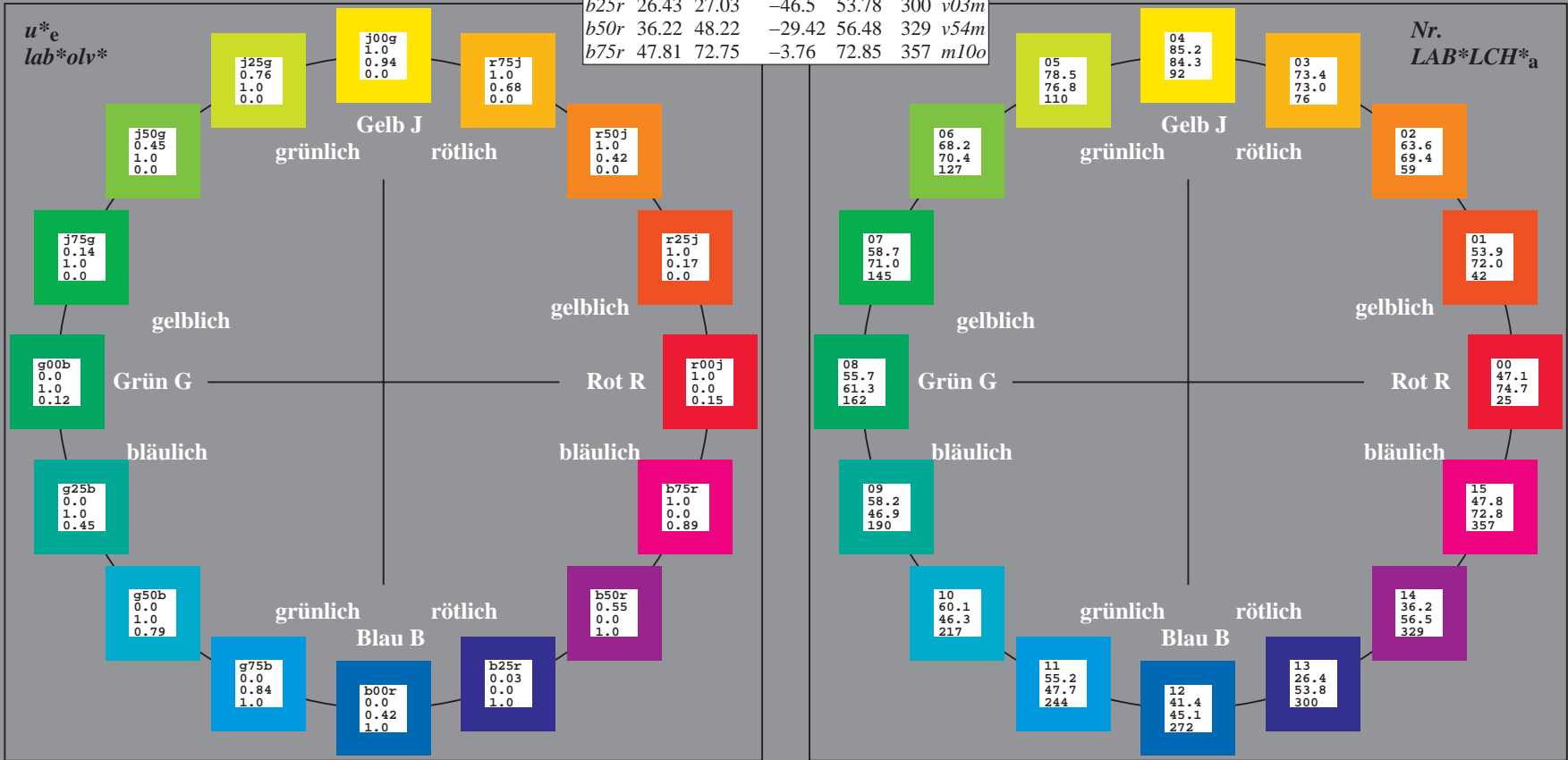
Ein und Ausgabe:  
 Farbmetrisches Drucker-Reflektiv-System ORS20\_95a  
 Daten für jede Farbe:  
 $u^*_e$  und Nummer *Nr.* = 00 .. 15  
 Elementar-Bunttextext:  
 $u^*_e = 16$  Bunttoene *r00j, r25j, ..., b75r*  
 Kontrastreduzierungsfaktor:  
 $c_R = 1.0$

ORS20_95a; adaptierte CIELAB-Daten						
$u^*_e$	$L^*=L^*_a$	$a^*_a$	$b^*_a$	$C^*_{ab,a}$	$h^*_{ab,a}$	$u^*_d$
r00j	47.06	67.41	32.12	74.67	25	m84o
r25j	53.95	53.38	48.38	72.04	42	o17y
r50j	63.6	35.87	59.45	69.43	59	o42y
r75j	73.37	18.14	70.66	72.95	76	o68y
j00g	85.24	-3.4	84.28	84.35	92	o93y
j25g	78.53	-25.99	72.23	76.76	110	y24l
j50g	68.25	-42.61	56.0	70.37	127	y55l
j75g	58.73	-57.99	40.99	71.02	145	y85l
g00b	55.66	-58.35	18.71	61.27	162	l12c
g25b	58.18	-46.2	-7.82	46.86	190	l45c
g50b	60.08	-37.02	-27.87	46.34	217	l78c
g75b	55.21	-20.63	-42.98	47.67	244	c16v
b00r	41.38	1.37	-45.05	45.07	272	c58v
b25r	26.43	27.03	-46.5	53.78	300	v03m
b50r	36.22	48.22	-29.42	56.48	329	v54m
b75r	47.81	72.75	-3.76	72.85	357	m10o



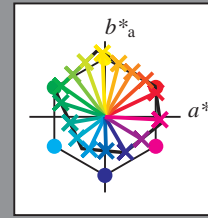
%Umfang  
 $u^*_{rel} = 87$   
 %Regularität  
 $g^*_{H,rel} = 67$   
 $g^*_{C,rel} = 59$

ORS20_95a; adaptierte CIELAB-Daten					
Name	$L^*=L^*_a$	$a^*_a$	$b^*_a$	$C^*_{ab,a}$	$h^*_{ab,a}$
OMa	46.89	66.19	40.28	77.48	31
YMa	88.66	-9.62	88.21	88.73	96
LMa	54.22	-65.29	33.87	73.56	153
CMa	61.43	-30.53	-42.04	51.96	234
VMa	25.93	25.95	-47.37	54.01	299
MMa	47.92	73.53	-9.02	74.08	353
NMa	20.41	0.0	0.0	0.0	0
WMa	94.64	0.0	0.0	0.0	0
JCIE	39.92	58.74	27.99	65.07	25
RCIE	81.26	-2.89	71.56	71.62	92
GCIE	52.23	-42.42	13.6	44.55	162
BCIE	30.57	1.41	-46.47	46.49	272



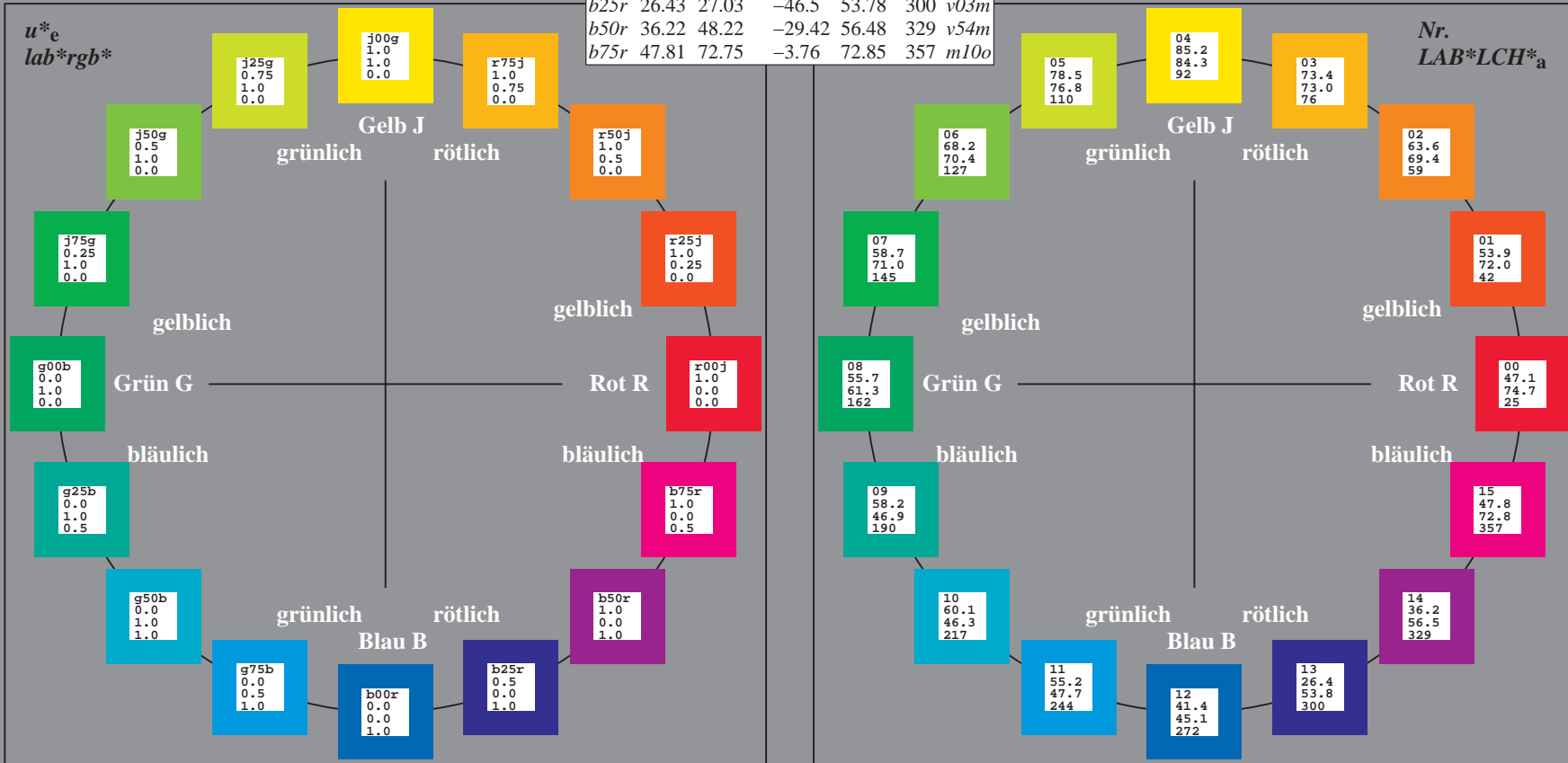
Ein und Ausgabe:  
 Farbmetrisches Drucker-Reflektiv-System ORS20\_95a  
 Daten für jede Farbe:  
 $u^*_e$  und Nummer *Nr.* = 00 .. 15  
 Elementar-Bunttextext:  
 $u^*_e = 16$  Bunttoene *r00j, r25j, ..., b75r*  
 Kontrastreduzierungsfaktor:  
 $c_R = 1.0$

ORS20_95a; adaptierte CIELAB-Daten						
$u^*_e$	$L^*=L^*_a$	$a^*_a$	$b^*_a$	$C^*_{ab,a}$	$h^*_{ab,a}$	$u^*_d$
r00j	47.06	67.41	32.12	74.67	25	m84o
r25j	53.95	53.38	48.38	72.04	42	o17y
r50j	63.6	35.87	59.45	69.43	59	o42y
r75j	73.37	18.14	70.66	72.95	76	o68y
j00g	85.24	-3.4	84.28	84.35	92	o93y
j25g	78.53	-25.99	72.23	76.76	110	y24l
j50g	68.25	-42.61	56.0	70.37	127	y55l
j75g	58.73	-57.99	40.99	71.02	145	y85l
g00b	55.66	-48.35	18.71	61.27	162	l12c
g25b	58.18	-56.2	-7.82	46.86	190	l45c
g50b	60.08	-37.02	-27.87	46.34	217	l78c
g75b	55.21	-20.63	-42.98	47.67	244	c16v
b00r	41.38	1.37	-45.05	45.07	272	c58v
b25r	26.43	27.03	-46.5	53.78	300	v03m
b50r	36.22	48.22	-29.42	56.48	329	v54m
b75r	47.81	72.75	-3.76	72.85	357	m10o



%Umfang  
 $u^*_{rel} = 87$   
 %Regularität  
 $g^*_{H,rel} = 67$   
 $g^*_{C,rel} = 59$

ORS20_95a; adaptierte CIELAB-Daten					
Name	$L^*=L^*_a$	$a^*_a$	$b^*_a$	$C^*_{ab,a}$	$h^*_{ab,a}$
OMa	46.89	66.19	40.28	77.48	31
YMa	88.66	-9.62	88.21	88.73	96
LMa	54.22	-65.29	33.87	73.56	153
CMa	61.43	-30.53	-42.04	51.96	234
VMa	25.93	25.95	-47.37	54.01	299
MMa	47.92	73.53	-9.02	74.08	353
NMa	20.41	0.0	0.0	0.0	0
WMa	94.64	0.0	0.0	0.0	0
JCIE	39.92	58.74	27.99	65.07	25
RCIE	81.26	-2.89	71.56	71.62	92
GCIE	52.23	-42.42	13.6	44.55	162
BCIE	30.57	1.41	-46.47	46.49	272

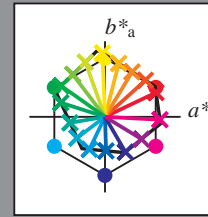


Siehe ähnliche Dateien: <http://www.ps.bam.de/Fg50/>; [www.ps.bam.de/Fg.HTM](http://www.ps.bam.de/Fg.HTM)  
 Technische Information: <http://www.ps.bam.de> Version 2.1, io=1,1, ColSpx=1

BAM-Registrierung: 20081001-Fg50/10L/L50g00NA.TXT/ .PS BAM-Material: Code=rh4ta  
 Anwendung für Beurteilung und Messung von Drucker- oder Monitorssystemen

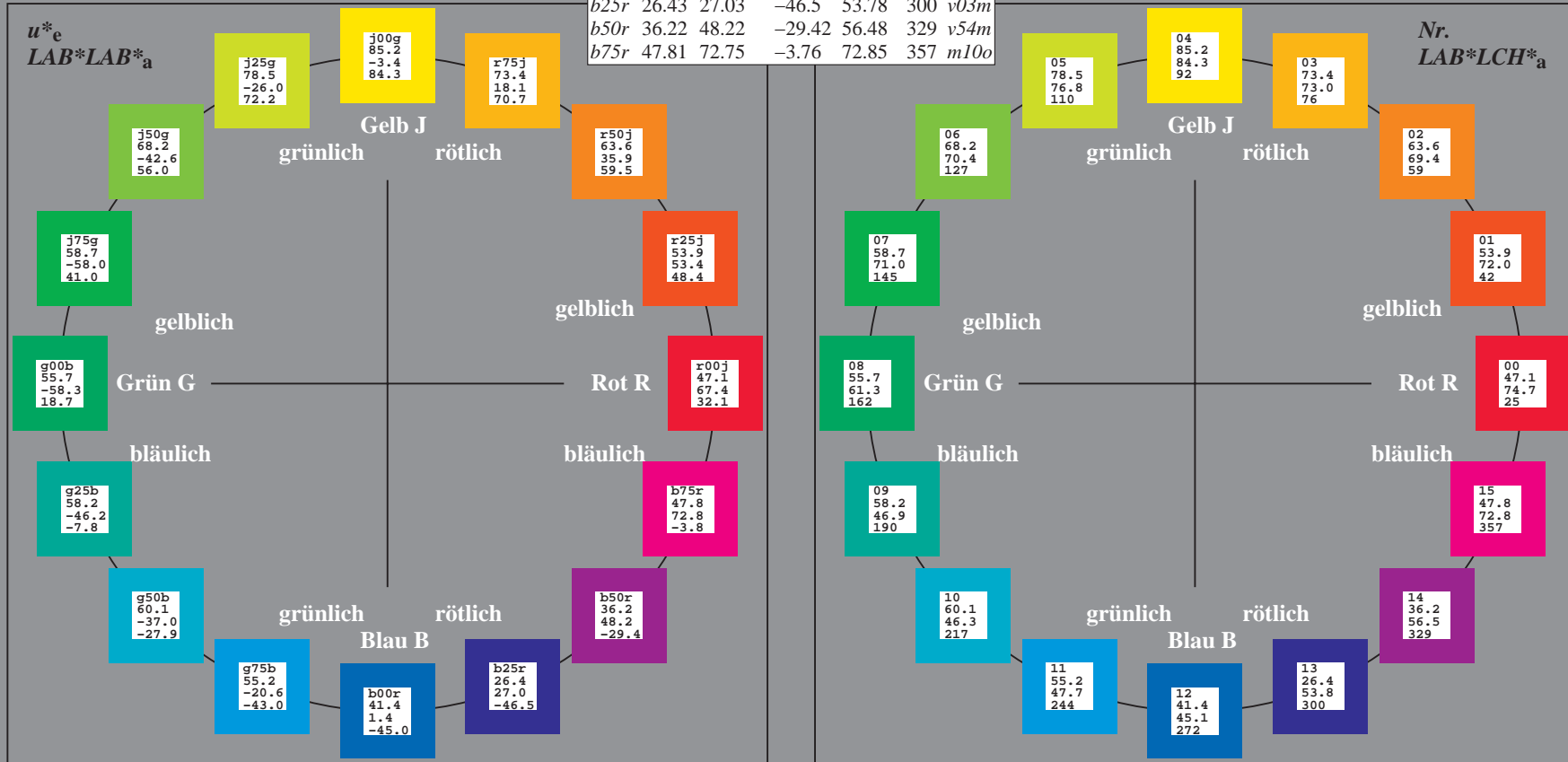
Ein und Ausgabe:  
 Farbmetrisches Drucker-Reflektiv-System ORS20\_95a  
 Daten für jede Farbe:  
 $u^*_e$  und Nummer *Nr.* = 00 .. 15  
 Elementar-Bunttext:  
 $u^*_e = 16$  Bunttoene *r00j, r25j, ..., b75r*  
 Kontrastreduzierungsfaktor:  
 $c_R = 1.0$

ORS20_95a; adaptierte CIELAB-Daten						
$u^*_e$	$L^*_{ab,a}$	$a^*_{ab,a}$	$b^*_{ab,a}$	$C^*_{ab,a}$	$h^*_{ab,a}$	$u^*_d$
r00j	47.06	67.41	32.12	74.67	25	m84o
r25j	53.95	53.38	48.38	72.04	42	o17y
r50j	63.6	35.87	59.45	69.43	59	o42y
r75j	73.37	18.14	70.66	72.95	76	o68y
j00g	85.24	-3.4	84.28	84.35	92	o93y
j25g	78.53	-25.99	72.23	76.76	110	y24l
j50g	68.25	-42.61	56.0	70.37	127	y55l
j75g	58.73	-57.99	40.99	71.02	145	y85l
g00b	55.66	-58.35	18.71	61.27	162	l12c
g25b	58.18	-46.2	-7.82	46.86	190	l45c
g50b	60.08	-37.02	-27.87	46.34	217	l78c
g75b	55.21	-20.63	-42.98	47.67	244	c16v
b00r	41.38	1.37	-45.05	45.07	272	c58v
b25r	26.43	27.03	-46.5	53.78	300	v03m
b50r	36.22	48.22	-29.42	56.48	329	v54m
b75r	47.81	72.75	-3.76	72.85	357	m10o



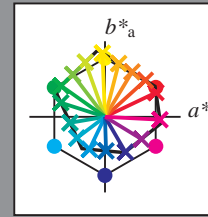
%Umfang  
 $u^*_{rel} = 87$   
 %Regularität  
 $g^*_{H,rel} = 67$   
 $g^*_{C,rel} = 59$

ORS20_95a; adaptierte CIELAB-Daten					
Name	$L^*_{ab,a}$	$a^*_{ab,a}$	$b^*_{ab,a}$	$C^*_{ab,a}$	$h^*_{ab,a}$
OMa	46.89	66.19	40.28	77.48	31
YMa	88.66	-9.62	88.21	88.73	96
LMa	54.22	-65.29	33.87	73.56	153
CMa	61.43	-30.53	-42.04	51.96	234
VMa	25.93	25.95	-47.37	54.01	299
MMa	47.92	73.53	-9.02	74.08	353
NMa	20.41	0.0	0.0	0.0	0
WMa	94.64	0.0	0.0	0.0	0
JCIE	39.92	58.74	27.99	65.07	25
RCIE	81.26	-2.89	71.56	71.62	92
GCIE	52.23	-42.42	13.6	44.55	162
BCIE	30.57	1.41	-46.47	46.49	272



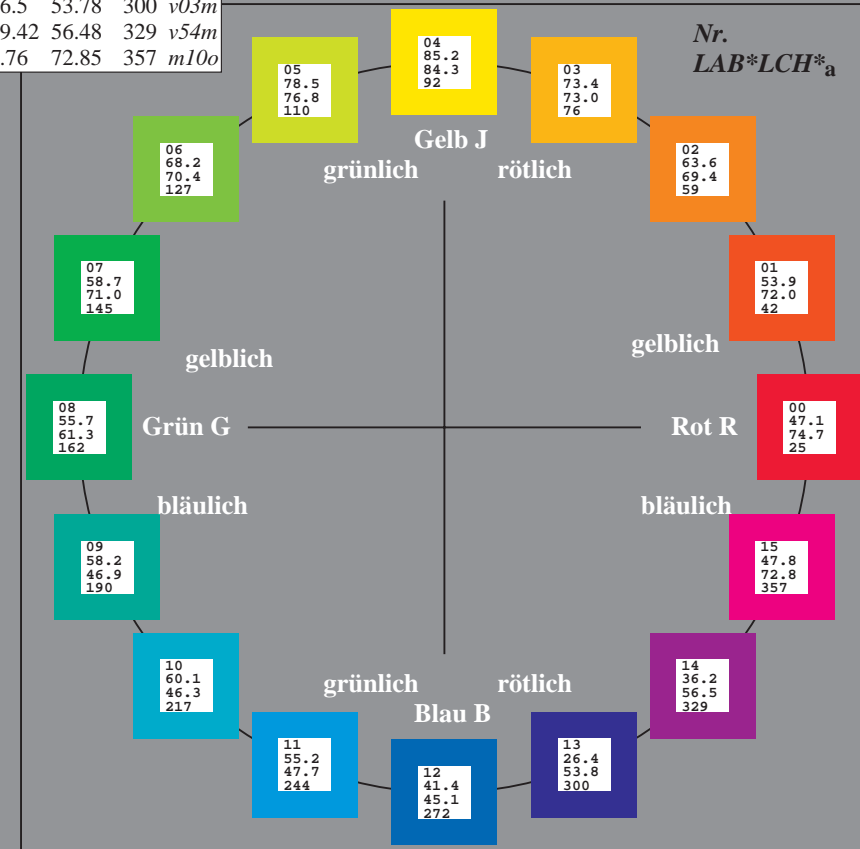
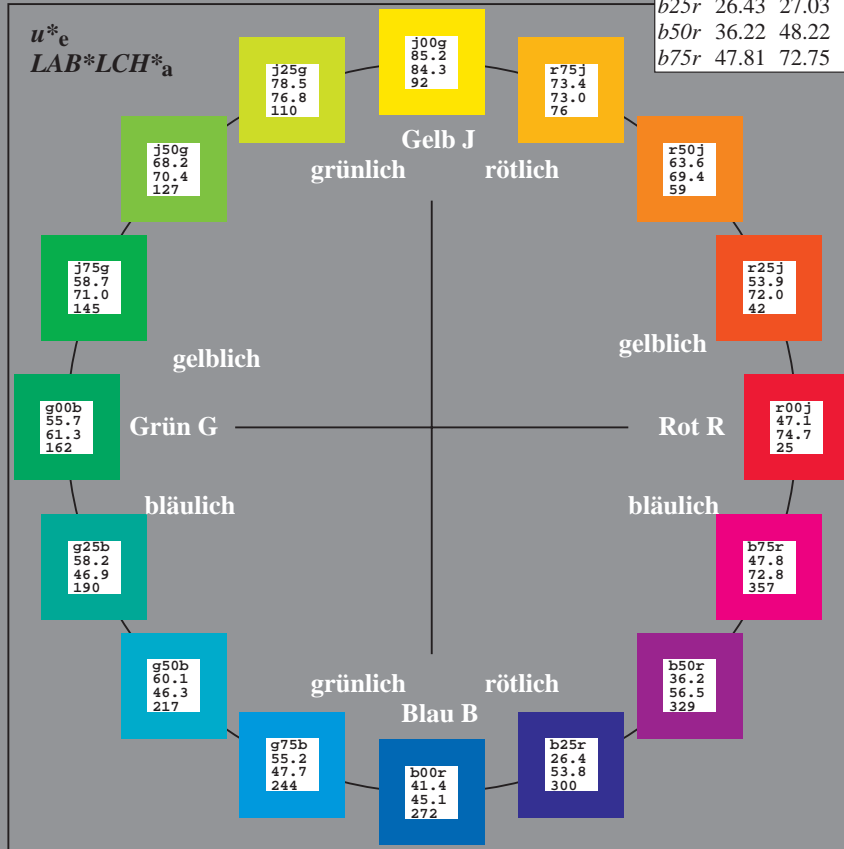
Ein und Ausgabe:  
 Farbmetrisches Drucker-Reflektiv-System ORS20\_95a  
 Daten für jede Farbe:  
 $u^*_e$  und Nummer *Nr.* = 00 .. 15  
 Elementar-Bunttextext:  
 $u^*_e = 16$  Bunttoene *r00j, r25j, ..., b75r*  
 Kontrastreduzierungsfaktor:  
 $c_R = 1.0$

ORS20_95a; adaptierte CIELAB-Daten						
$u^*_e$	$L^*=L^*_a$	$a^*_a$	$b^*_a$	$C^*_{ab,a}$	$h^*_{ab,a}$	$u^*_d$
r00j	47.06	67.41	32.12	74.67	25	m84o
r25j	53.95	53.38	48.38	72.04	42	o17y
r50j	63.6	35.87	59.45	69.43	59	o42y
r75j	73.37	18.14	70.66	72.95	76	o68y
j00g	85.24	-3.4	84.28	84.35	92	o93y
j25g	78.53	-25.99	72.23	76.76	110	y24l
j50g	68.25	-42.61	56.0	70.37	127	y55l
j75g	58.73	-57.99	40.99	71.02	145	y85l
g00b	55.66	-58.35	18.71	61.27	162	l12c
g25b	58.18	-46.2	-7.82	46.86	190	l45c
g50b	60.08	-37.02	-27.87	46.34	217	l78c
g75b	55.21	-20.63	-42.98	47.67	244	c16v
b00r	41.38	1.37	-45.05	45.07	272	c58v
b25r	26.43	27.03	-46.5	53.78	300	v03m
b50r	36.22	48.22	-29.42	56.48	329	v54m
b75r	47.81	72.75	-3.76	72.85	357	m10o



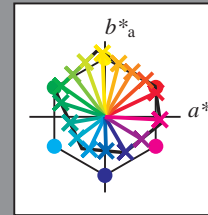
%Umfang  
 $u^*_{rel} = 87$   
 %Regularität  
 $g^*_{H,rel} = 67$   
 $g^*_{C,rel} = 59$

ORS20_95a; adaptierte CIELAB-Daten					
Name	$L^*=L^*_a$	$a^*_a$	$b^*_a$	$C^*_{ab,a}$	$h^*_{ab,a}$
OMa	46.89	66.19	40.28	77.48	31
YMa	88.66	-9.62	88.21	88.73	96
LMa	54.22	-65.29	33.87	73.56	153
CMa	61.43	-30.53	-42.04	51.96	234
VMa	25.93	25.95	-47.37	54.01	299
MMa	47.92	73.53	-9.02	74.08	353
NMa	20.41	0.0	0.0	0.0	0
WMa	94.64	0.0	0.0	0.0	0
JCIE	39.92	58.74	27.99	65.07	25
RCIE	81.26	-2.89	71.56	71.62	92
GCIE	52.23	-42.42	13.6	44.55	162
BCIE	30.57	1.41	-46.47	46.49	272



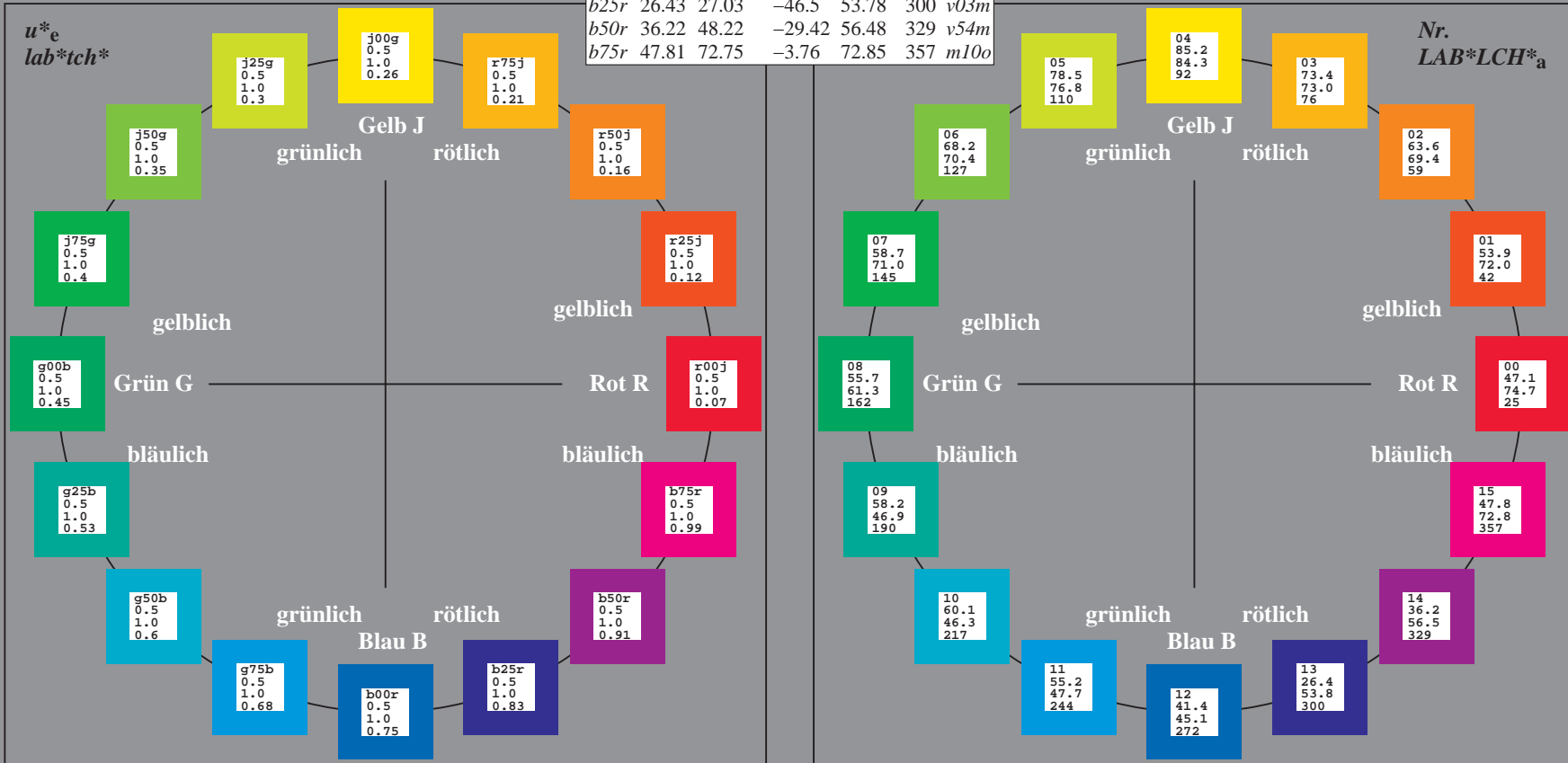
Ein und Ausgabe:  
 Farbmetrisches Drucker-Reflektiv-System ORS20\_95a  
 Daten für jede Farbe:  
 $u^*_e$  und Nummer *Nr.* = 00 .. 15  
 Elementar-Bunttontext:  
 $u^*_e = 16$  Bunttoene *r00j, r25j, ..., b75r*  
 Kontrastreduzierungsfaktor:  
 $c_R = 1.0$

ORS20_95a; adaptierte CIELAB-Daten						
$u^*_e$	$L^*=-L^*_a$	$a^*_a$	$b^*_a$	$C^*_{ab,a}$	$h^*_{ab,a}$	$u^*_d$
r00j	47.06	67.41	32.12	74.67	25	m84o
r25j	53.95	53.38	48.38	72.04	42	o17y
r50j	63.6	35.87	59.45	69.43	59	o42y
r75j	73.37	18.14	70.66	72.95	76	o68y
j00g	85.24	-3.4	84.28	84.35	92	o93y
j25g	78.53	-25.99	72.23	76.76	110	y24l
j50g	68.25	-42.61	56.0	70.37	127	y55l
j75g	58.73	-57.99	40.99	71.02	145	y85l
g00b	55.66	-58.35	18.71	61.27	162	l12c
g25b	58.18	-46.2	-7.82	46.86	190	l45c
g50b	60.08	-37.02	-27.87	46.34	217	l78c
g75b	55.21	-20.63	-42.98	47.67	244	c16v
b00r	41.38	1.37	-45.05	45.07	272	c58v
b25r	26.43	27.03	-46.5	53.78	300	v03m
b50r	36.22	48.22	-29.42	56.48	329	v54m
b75r	47.81	72.75	-3.76	72.85	357	m10o



%Umfang  
 $u^*_{rel} = 87$   
 %Regularität  
 $g^*_{H,rel} = 67$   
 $g^*_{C,rel} = 59$

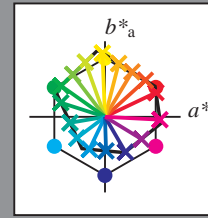
ORS20_95a; adaptierte CIELAB-Daten					
Name	$L^*=-L^*_a$	$a^*_a$	$b^*_a$	$C^*_{ab,a}$	$h^*_{ab,a}$
OMa	46.89	66.19	40.28	77.48	31
YMa	88.66	-9.62	88.21	88.73	96
LMa	54.22	-65.29	33.87	73.56	153
CMa	61.43	-30.53	-42.04	51.96	234
VMa	25.93	25.95	-47.37	54.01	299
MMa	47.92	73.53	-9.02	74.08	353
NMa	20.41	0.0	0.0	0.0	0
WMa	94.64	0.0	0.0	0.0	0
JCIE	39.92	58.74	27.99	65.07	25
RCIE	81.26	-2.89	71.56	71.62	92
GCIE	52.23	-42.42	13.6	44.55	162
BCIE	30.57	1.41	-46.47	46.49	272



Ein und Ausgabe:  
 Farbmetrisches Drucker-Reflektiv-System ORS20\_95a  
 Daten für jede Farbe:  
 $u^*_e$  und Nummer *Nr.* = 00 .. 15  
 Elementar-Bunttextext:  
 $u^*_e = 16$  Bunttoene *r00j, r25j, ..., b75r*  
 Kontrastreduzierungsfaktor:  
 $c_R = 1.0$

ORS20\_95a; adaptierte CIELAB-Daten

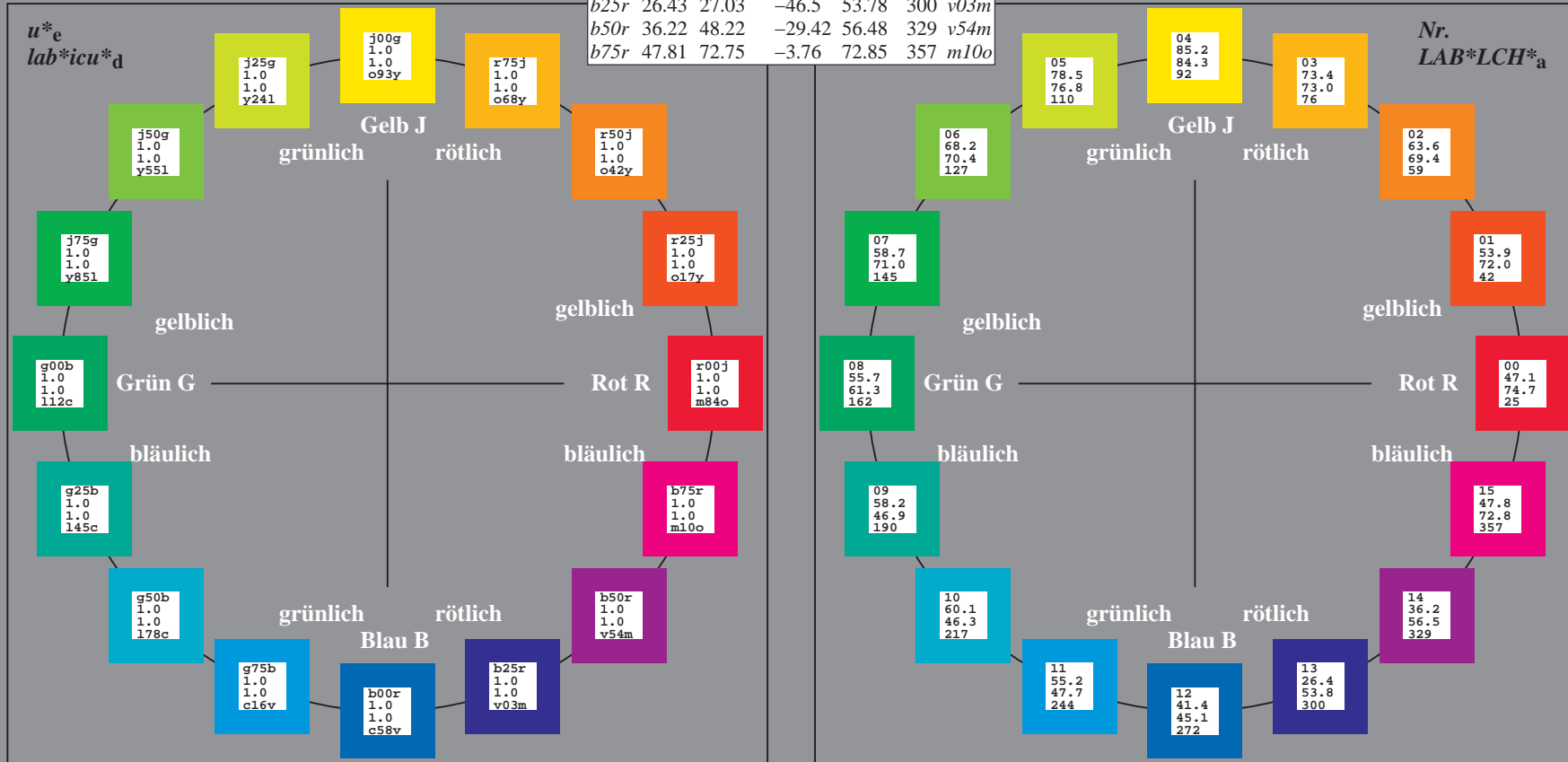
$u^*_e$	$L^*=L^*_a$	$a^*_a$	$b^*_a$	$C^*_{ab,a}$	$h^*_{ab,a}$	$u^*_d$
r00j	47.06	67.41	32.12	74.67	25	m84o
r25j	53.95	53.38	48.38	72.04	42	o17y
r50j	63.6	35.87	59.45	69.43	59	o42y
r75j	73.37	18.14	70.66	72.95	76	o68y
j00g	85.24	-3.4	84.28	84.35	92	o93y
j25g	78.53	-25.99	72.23	76.76	110	y24l
j50g	68.25	-42.61	56.0	70.37	127	y55l
j75g	58.73	-57.99	40.99	71.02	145	y85l
g00b	55.66	-58.35	18.71	61.27	162	l12c
g25b	58.18	-46.2	-7.82	46.86	190	l45c
g50b	60.08	-37.02	-27.87	46.34	217	l78c
g75b	55.21	-20.63	-42.98	47.67	244	c16v
b00r	41.38	1.37	-45.05	45.07	272	c58v
b25r	26.43	27.03	-46.5	53.78	300	v03m
b50r	36.22	48.22	-29.42	56.48	329	v54m
b75r	47.81	72.75	-3.76	72.85	357	m10o



%Umfang  
 $u^*_{rel} = 87$   
 %Regularität  
 $g^*_{H,rel} = 67$   
 $g^*_{C,rel} = 59$

ORS20\_95a; adaptierte CIELAB-Daten

Name	$L^*=L^*_a$	$a^*_a$	$b^*_a$	$C^*_{ab,a}$	$h^*_{ab,a}$
OMa	46.89	66.19	40.28	77.48	31
YMa	88.66	-9.62	88.21	88.73	96
LMa	54.22	-65.29	33.87	73.56	153
CMa	61.43	-30.53	-42.04	51.96	234
VMa	25.93	25.95	-47.37	54.01	299
MMa	47.92	73.53	-9.02	74.08	353
NMa	20.41	0.0	0.0	0.0	0
WMa	94.64	0.0	0.0	0.0	0
RCIE	39.92	58.74	27.99	65.07	25
JCIE	81.26	-2.89	71.56	71.62	92
GCIE	52.23	-42.42	13.6	44.55	162
BCIE	30.57	1.41	-46.47	46.49	272



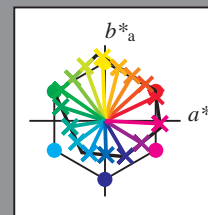
Siehe ähnliche Dateien: <http://www.ps.bam.de/Fg50/>; [www.ps.bam.de/Fg.HTM](http://www.ps.bam.de/Fg.HTM)  
 Technische Information: <http://www.ps.bam.de> Version 2.1, io=1,1, ColSpx=1

BAM-Registrierung: 20081001-Fg50/10L/L50g00NA.TXT/ .PS BAM-Material: Code=rh4ta  
 Anwendung für Beurteilung und Messung von Drucker- oder Monitorssystemen



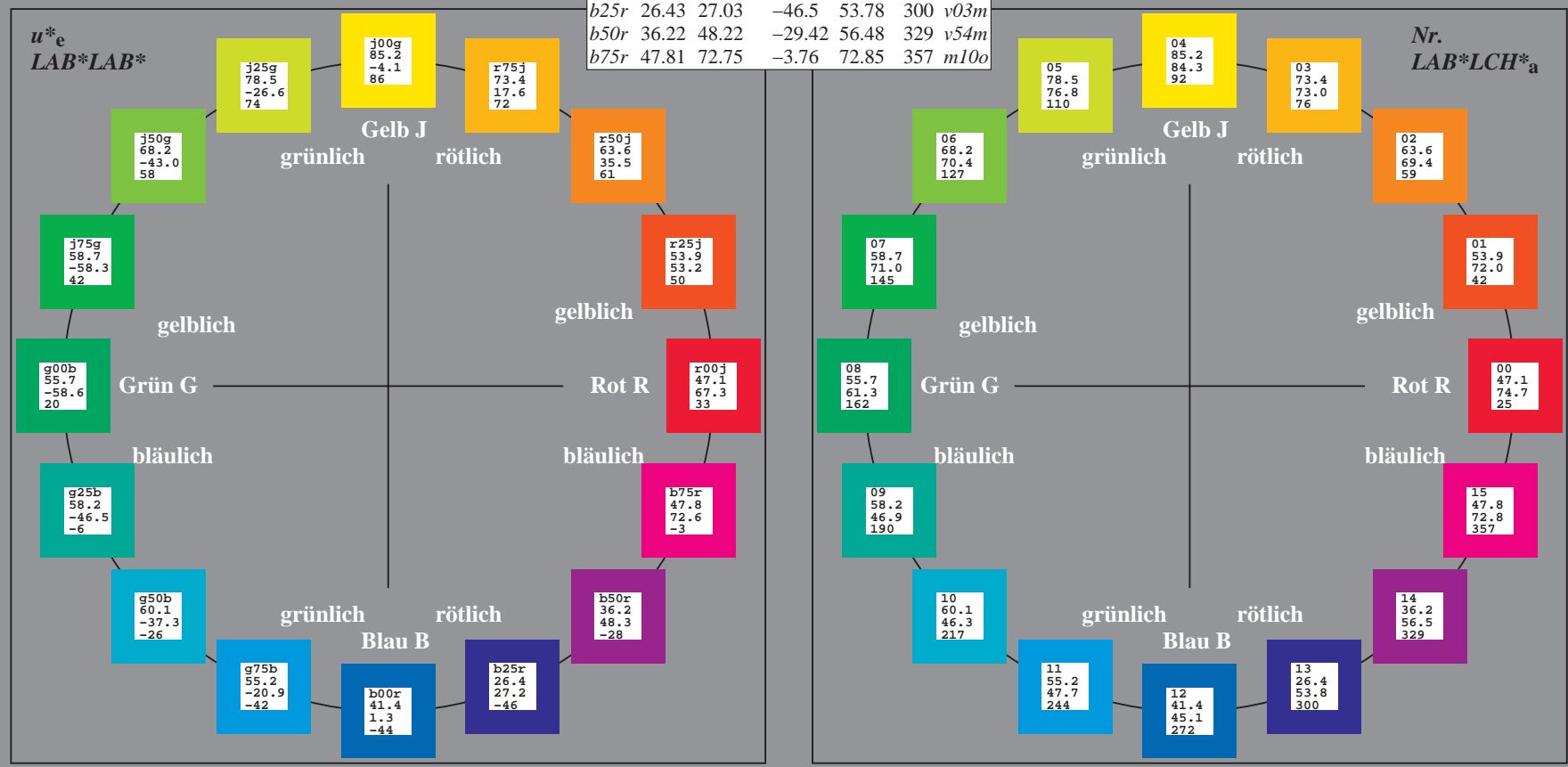
Ein und Ausgabe:  
 Farbmetrisches Drucker-Reflektiv-System ORS20\_95a  
 Daten für jede Farbe:  
 $u^*_e$  und Nummer *Nr.* = 00 .. 15  
 Elementar-Bunttextext:  
 $u^*_e = 16$  Bunttoene *r00j, r25j, ..., b75r*  
 Kontrastreduzierungsfaktor:  
 $c_R = 1.0$

ORS20_95a; adaptierte CIELAB-Daten						
$u^*_e$	$L^*=-L^*_a$	$a^*_a$	$b^*_a$	$C^*_{ab,a}$	$h^*_{ab,a}$	$u^*_d$
r00j	47.06	67.41	32.12	74.67	25	m84o
r25j	53.95	53.38	48.38	72.04	42	o17y
r50j	63.6	35.87	59.45	69.43	59	o42y
r75j	73.37	18.14	70.66	72.95	76	o68y
j00g	85.24	-3.4	84.28	84.35	92	o93y
j25g	78.53	-25.99	72.23	76.76	110	y24l
j50g	68.25	-42.61	56.0	70.37	127	y55l
j75g	58.73	-57.99	40.99	71.02	145	y85l
g00b	55.66	-58.35	18.71	61.27	162	l12c
g25b	58.18	-46.2	-7.82	46.86	190	l45c
g50b	60.08	-37.02	-27.87	46.34	217	l78c
g75b	55.21	-20.63	-42.98	47.67	244	c16v
b00r	41.38	1.37	-45.05	45.07	272	c58v
b25r	26.43	27.03	-46.5	53.78	300	v03m
b50r	36.22	48.22	-29.42	56.48	329	v54m
b75r	47.81	72.75	-3.76	72.85	357	m10o



%Umfang  
 $u^*_{rel} = 87$   
 %Regularität  
 $g^*_{H,rel} = 67$   
 $g^*_{C,rel} = 59$

ORS20_95; CIELAB-Daten					
Name	$L^*=-L^*$	$a^*$	$b^*$	$C^*_{ab}$	$h^*_{ab}$
O <sub>M</sub>	46.89	66.08	41.48	78.02	32
Y <sub>M</sub>	88.66	-10.34	90.28	90.87	97
L <sub>M</sub>	54.22	-65.51	35.22	74.38	152
C <sub>M</sub>	61.43	-30.85	-40.54	50.94	233
V <sub>M</sub>	25.93	26.15	-46.61	53.44	299
M <sub>M</sub>	47.92	73.41	-7.8	73.82	354
N <sub>M</sub>	20.41	0.28	0.64	0.7	66
W <sub>M</sub>	94.64	-0.81	2.2	2.34	110
J <sub>CIE</sub>	39.92	58.74	27.99	65.07	25
R <sub>CIE</sub>	81.26	-2.89	71.56	71.62	92
G <sub>CIE</sub>	52.23	-42.42	13.6	44.55	162
B <sub>CIE</sub>	30.57	1.41	-46.47	46.49	272



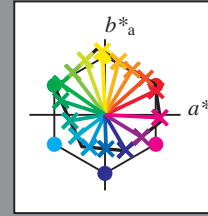
Siehe ähnliche Dateien: <http://www.ps.bam.de/Fg50/>; [www.ps.bam.de/Fg.HTM](http://www.ps.bam.de/Fg.HTM)  
 Technische Information: <http://www.ps.bam.de> Version 2.1, io=1,1, ColSpx=1

BAM-Registrierung: 20081001-Fg50/10L/L50g00NA.TXT/ .PS BAM-Material: Code=rhatha  
 Anwendung für Beurteilung und Messung von Drucker- oder Monitorssystemen

Ein und Ausgabe:  
 Farbmetrisches Drucker-Reflektiv-System ORS20\_95a  
 Daten für jede Farbe:  
 $u^*_e$  und Nummer *Nr.* = 00 .. 15  
 Elementar-Bunttextext:  
 $u^*_e = 16$  Bunttoene *r00j, r25j, ..., b75r*  
 Kontrastreduzierungsfaktor:  
 $c_R = 1.0$

ORS20\_95a; adaptierte CIELAB-Daten

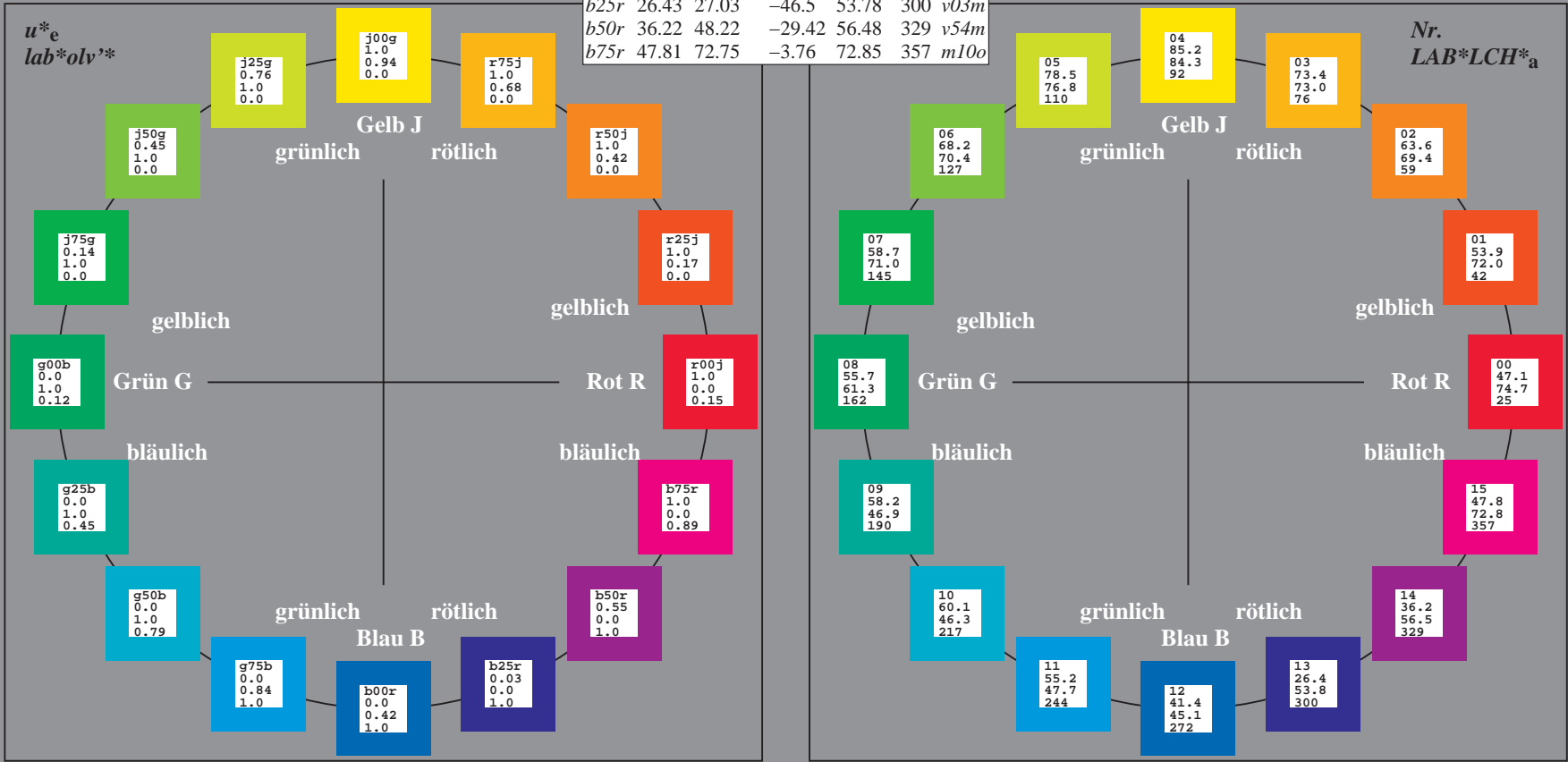
$u^*_e$	$L^*=L^*_a$	$a^*_a$	$b^*_a$	$C^*_{ab,a}$	$h^*_{ab,a}$	$u^*_d$
r00j	47.06	67.41	32.12	74.67	25	m84o
r25j	53.95	53.38	48.38	72.04	42	o17y
r50j	63.6	35.87	59.45	69.43	59	o42y
r75j	73.37	18.14	70.66	72.95	76	o68y
j00g	85.24	-3.4	84.28	84.35	92	o93y
j25g	78.53	-25.99	72.23	76.76	110	y24l
j50g	68.25	-42.61	56.0	70.37	127	y55l
j75g	58.73	-57.99	40.99	71.02	145	y85l
g00b	55.66	-58.35	18.71	61.27	162	l12c
g25b	58.18	-46.2	-7.82	46.86	190	l45c
g50b	60.08	-37.02	-27.87	46.34	217	l78c
g75b	55.21	-20.63	-42.98	47.67	244	c16v
b00r	41.38	1.37	-45.05	45.07	272	c58v
b25r	26.43	27.03	-46.5	53.78	300	v03m
b50r	36.22	48.22	-29.42	56.48	329	v54m
b75r	47.81	72.75	-3.76	72.85	357	m10o



%Umfang  
 $u^*_{rel} = 87$   
 %Regularität  
 $g^*_{H,rel} = 67$   
 $g^*_{C,rel} = 59$

ORS20\_95a; CIELAB-Daten

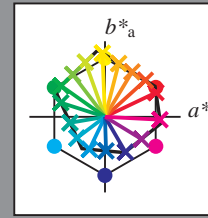
Name	$L^*=L^*$	$a^*$	$b^*$	$C^*_{ab}$	$h^*_{ab}$
O <sub>M</sub>	46.89	66.08	41.48	78.02	32
Y <sub>M</sub>	88.66	-10.34	90.28	90.87	97
L <sub>M</sub>	54.22	-65.51	35.22	74.38	152
C <sub>M</sub>	61.43	-30.85	-40.54	50.94	233
V <sub>M</sub>	25.93	26.15	-46.61	53.44	299
M <sub>M</sub>	47.92	73.41	-7.8	73.82	354
N <sub>M</sub>	20.41	0.28	0.64	0.7	66
W <sub>M</sub>	94.64	-0.81	2.2	2.34	110
J <sub>CIE</sub>	39.92	58.74	27.99	65.07	92
R <sub>CIE</sub>	81.26	-2.89	71.56	71.62	25
G <sub>CIE</sub>	52.23	-42.42	13.6	44.55	162
B <sub>CIE</sub>	30.57	1.41	-46.47	46.49	272



Ein und Ausgabe:  
 Farbmatisches Drucker-Reflektiv-System ORS20\_95a  
 Daten für jede Farbe:  
 $u^*_e$  und Nummer *Nr.* = 00 .. 15  
 Elementar-Bunttext:  
 $u^*_e = 16$  Bunttoene *r00j, r25j, ..., b75r*  
 Kontrastreduzierungsfaktor:  
 $c_R = 1.0$

ORS20\_95a; adaptierte CIELAB-Daten

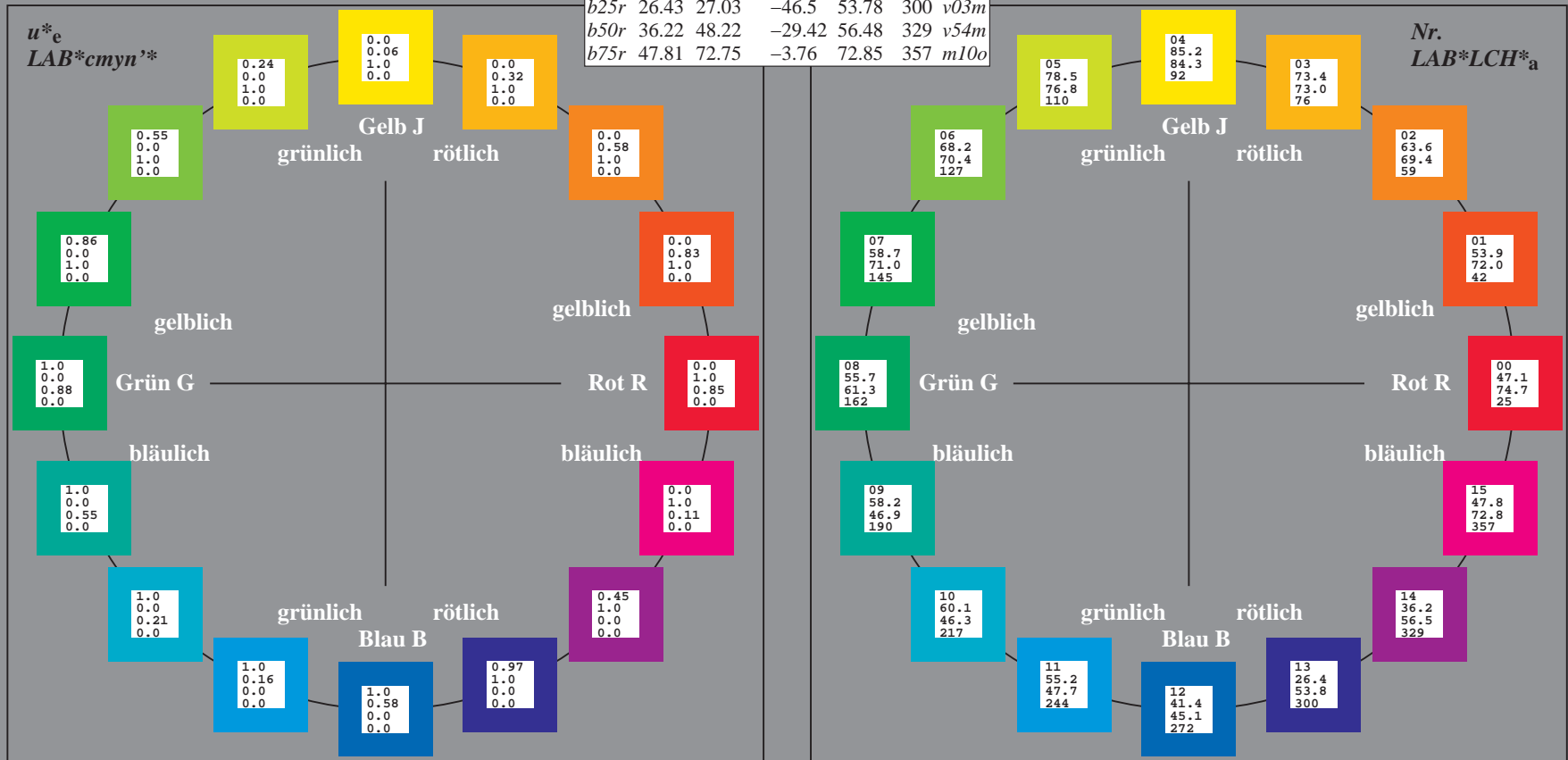
$u^*_e$	$L^*=-L^*_a$	$a^*_a$	$b^*_a$	$C^*_{ab,a}$	$h^*_{ab,a}$	$u^*_d$
r00j	47.06	67.41	32.12	74.67	25	m84o
r25j	53.95	53.38	48.38	72.04	42	o17y
r50j	63.6	35.87	59.45	69.43	59	o42y
r75j	73.37	18.14	70.66	72.95	76	o68y
j00g	85.24	-3.4	84.28	84.35	92	o93y
j25g	78.53	-25.99	72.23	76.76	110	y24l
j50g	68.25	-42.61	56.0	70.37	127	y55l
j75g	58.73	-57.99	40.99	71.02	145	y85l
g00b	55.66	-58.35	18.71	61.27	162	l12c
g25b	58.18	-46.2	-7.82	46.86	190	l45c
g50b	60.08	-37.02	-27.87	46.34	217	l78c
g75b	55.21	-20.63	-42.98	47.67	244	c16v
b00r	41.38	1.37	-45.05	45.07	272	c58v
b25r	26.43	27.03	-46.5	53.78	300	v03m
b50r	36.22	48.22	-29.42	56.48	329	v54m
b75r	47.81	72.75	-3.76	72.85	357	m10o



%Umfang  
 $u^*_{rel} = 87$   
 %Regularität  
 $g^*_{H,rel} = 67$   
 $g^*_{C,rel} = 59$

ORS20\_95a; CIELAB-Daten

Name	$L^*=-L^*$	$a^*$	$b^*$	$C^*_{ab}$	$h^*_{ab}$
O <sub>M</sub>	46.89	66.08	41.48	78.02	32
Y <sub>M</sub>	88.66	-10.34	90.28	90.87	97
L <sub>M</sub>	54.22	-65.51	35.22	74.38	152
C <sub>M</sub>	61.43	-30.85	-40.54	50.94	233
V <sub>M</sub>	25.93	26.15	-46.61	53.44	299
M <sub>M</sub>	47.92	73.41	-7.8	73.82	354
N <sub>M</sub>	20.41	0.28	0.64	0.7	66
W <sub>M</sub>	94.64	-0.81	2.2	2.34	110
R <sub>CIE</sub>	39.92	58.74	27.99	65.07	25
J <sub>CIE</sub>	81.26	-2.89	71.56	71.62	92
G <sub>CIE</sub>	52.23	-42.42	13.6	44.55	162
B <sub>CIE</sub>	30.57	1.41	-46.47	46.49	272



Siehe ähnliche Dateien: <http://www.ps.bam.de/Fg50/>; [www.ps.bam.de/Fg50/HTM](http://www.ps.bam.de/Fg50/HTM)  
 Technische Information: <http://www.ps.bam.de> Version 2.1, io=1,1, ColSpx=1

BAM-Registrierung: 20081001-Fg50/10L/L50g00NA.TXT/ .PS BAM-Material: Code=rh4ta  
 Anwendung für Beurteilung und Messung von Drucker- oder Monitorssystemen